

LANCE

Laboratorio Nacional
de Clima Espacial



Reporte Semanal de Clima Espacial

<https://www.sciesmex.unam.mx/blog/category/reporte-semanal-de-clima-espacial/>



**Ciencia y
Tecnología**
Secretaría de Ciencia, Humanidades,
Tecnología e Innovación



CENAPRED
CENTRO NACIONAL DE
PREVENCIÓN DE DESASTRES



ISES
International Space
Environment Service

Reporte semanal: del 19 al 25 de septiembre de 2025

LANC E

Servicio Clima Espacial

CONDICIONES DEL SOL

Regiones Activas (RA): 11, 6 en el hemisferio sur y 5 en el hemisferio norte.

Eyecciones de Masa Coronal: 44 (1 tipo halo).

Hoyos coronales: 9 hoyos coronales 6 en el hemisferio norte y 3 en el polo sur

Fulguraciones solares: se detectó una fulguraciones clase 1.6.

CONDICIONES DEL MEDIO INTERPLANETARIO

Se registró una región de interacción

La Red de Espectrómetros Callisto detectó 21 estallidos de radio Tipo III.

CONDICIONES DE MAGNETÓSFERA

Se registró actividad geomagnética moderada.

CONDICIONES DE LA IONOSFERA

No se detectaron variaciones durante la semana.

CONDICIONES DE RAYOS CÓSMICOS SOBRE MÉXICO

No se detectaron variaciones durante la semana.

PRONÓSTICOS

Viento solar:

- Se pronostica para los próximos días viento solar con velocidad de 300 a 500 km/s.

Fulguraciones solares:

- Debido a la presencia de regiones activas en el disco solar existe la posibilidad de que se presenten fulguraciones en los próximos días.

Tormentas ionosféricas:

- Hay baja probabilidad de perturbaciones ionosféricas.

Tormentas geomagnéticas:

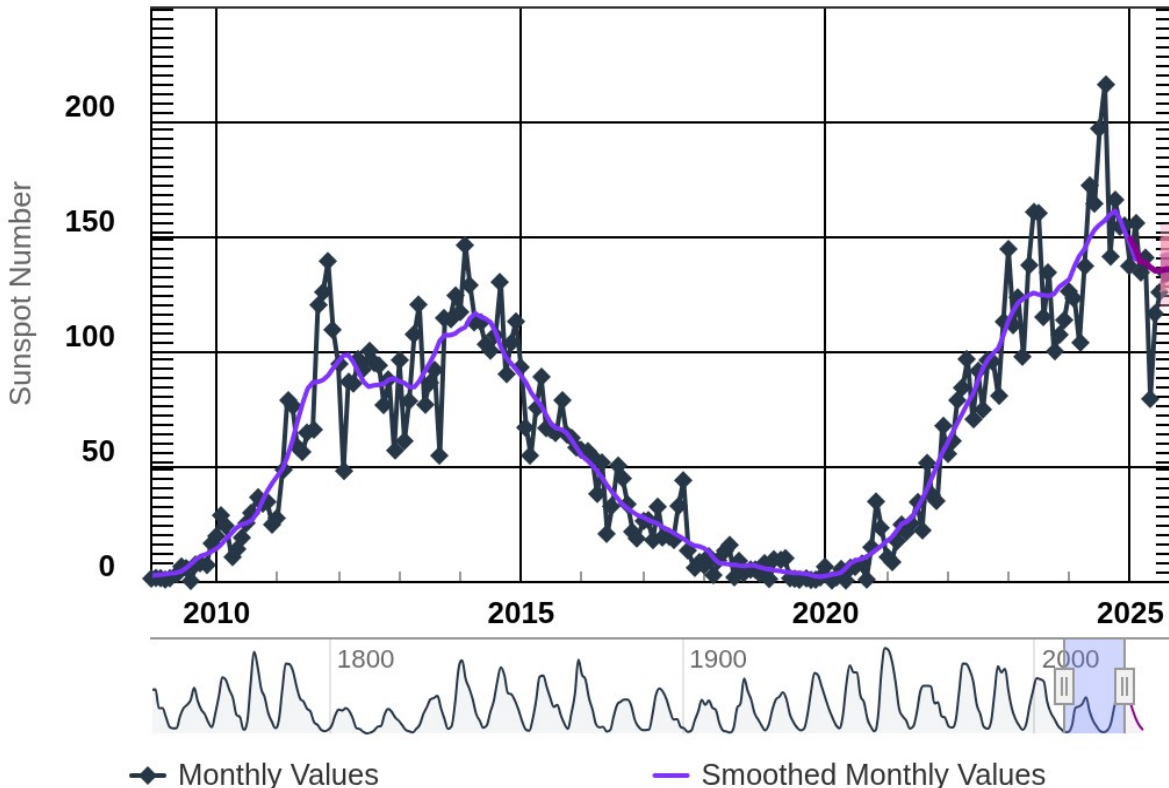
- Hay baja probabilidad de actividad geomagnética.

Tormentas de radiación de partículas:

- Hay baja probabilidad de tormentas de radiación. No se esperan eventos significativos.

Ciclo de manchas solares y la actividad solar

Solar Cycle Sunspot Number Progression



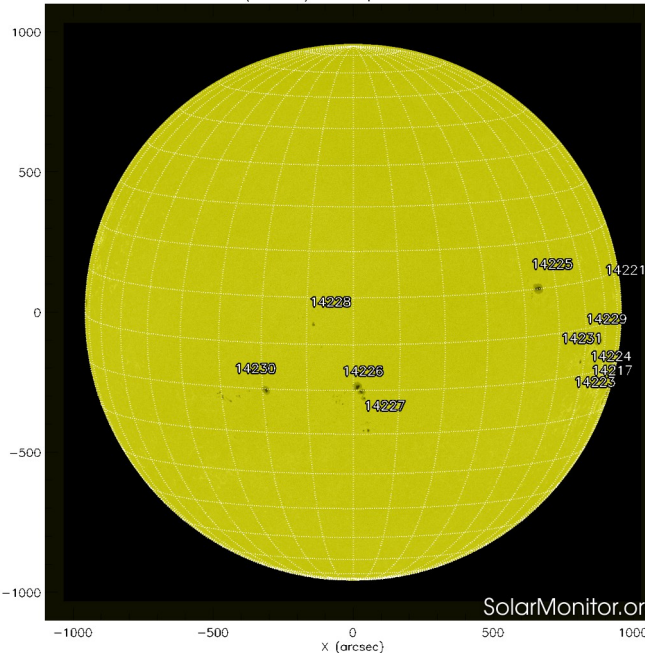
La figura muestra el conteo del número de manchas solares desde enero de 2009 a la fecha.

Entre más manchas solares presente el Sol, es mayor la posibilidad de que ocurra una tormenta solar.

Ya pasamos la fase ascendente y máximo del ciclo solar 25 (años: 2020-2024) y ahora estamos en la fase descendente.

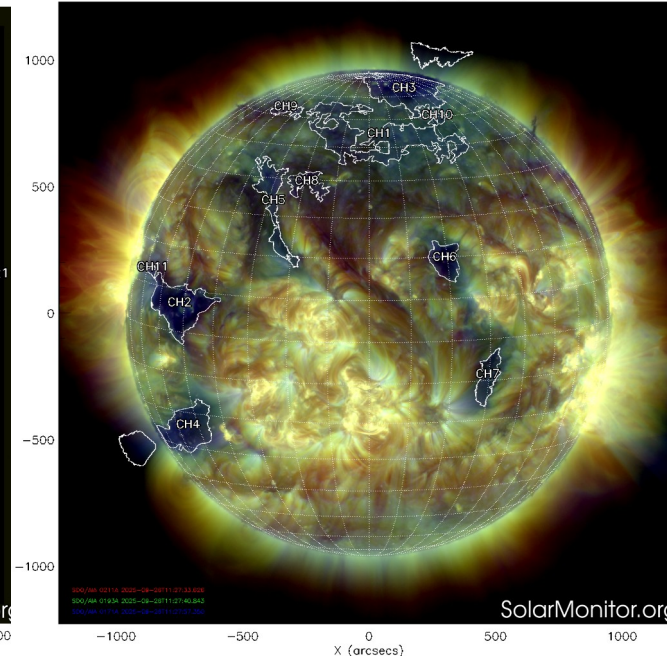
<http://www.swpc.noaa.gov/products/solar-cycle-progression>

SDO HMI (6173 Å) 26-Sep-2025 10:46:39.300



<https://solarmonitor.org/>

CHIMERA Coronal Holes at 26-Sep-2025 11:27:40.843 UT



<https://solarmonitor.org/>

El Sol, visto en distintas longitudes de onda, muestra diferentes capas solares.

A la izquierda: La superficie solar (fotosfera) vista en luz visible. En esta zona se aprecian las manchas solares (zonas oscuras) asociadas con las regiones activas, las cuales concentran intensos campos magnéticos y son la principal fuente de la actividad solar.

A la derecha: Imagen del disco solar en una composición de tres longitudes de onda de 171, 193 y 211 Angstroms. La imagen facilita la identificación de hoyos coronales (regiones oscuras) que son fuente de campo magnético solar localmente abierto y también son el origen de las corrientes de viento solar rápido.

La imagen del día de hoy, 26 de septiembre de 2025, muestra 11 regiones activas, 6 en el hemisferio sur y 5 en el hemisferio norte (ver imagen de la izquierda).

Además, se observan 9 hoyos coronales 6 en el hemisferio norte y 3 en el polo sur (ver imagen de la derecha).

LABORATORIO DE CIENCIAS
LACIGE
UNAM
GEOSPACIALES
H-ALPHA 6562.8 Å
UTC 09/22/25 17:04

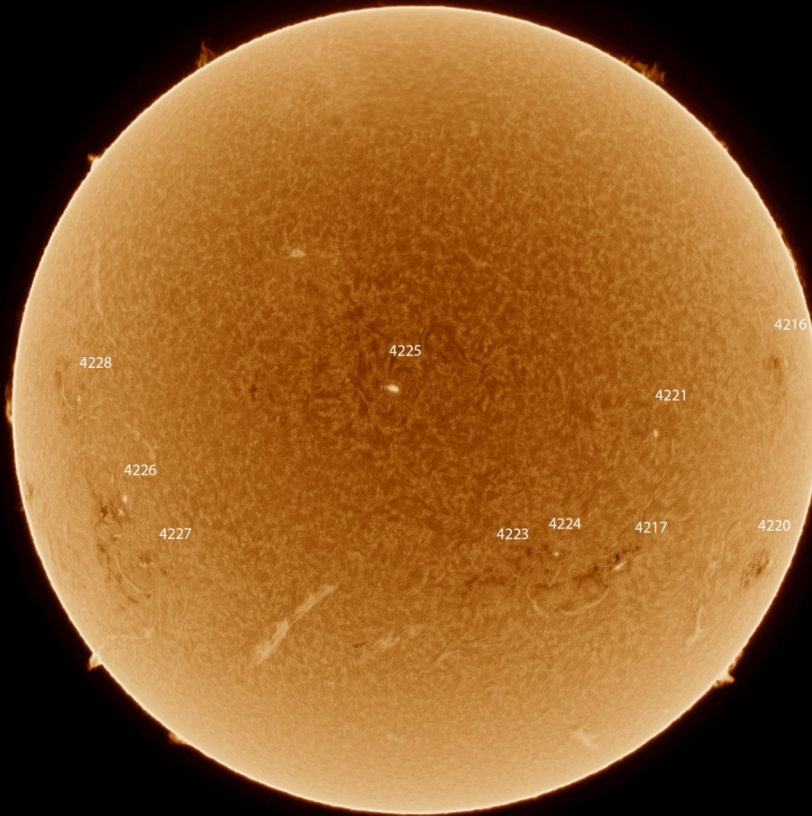


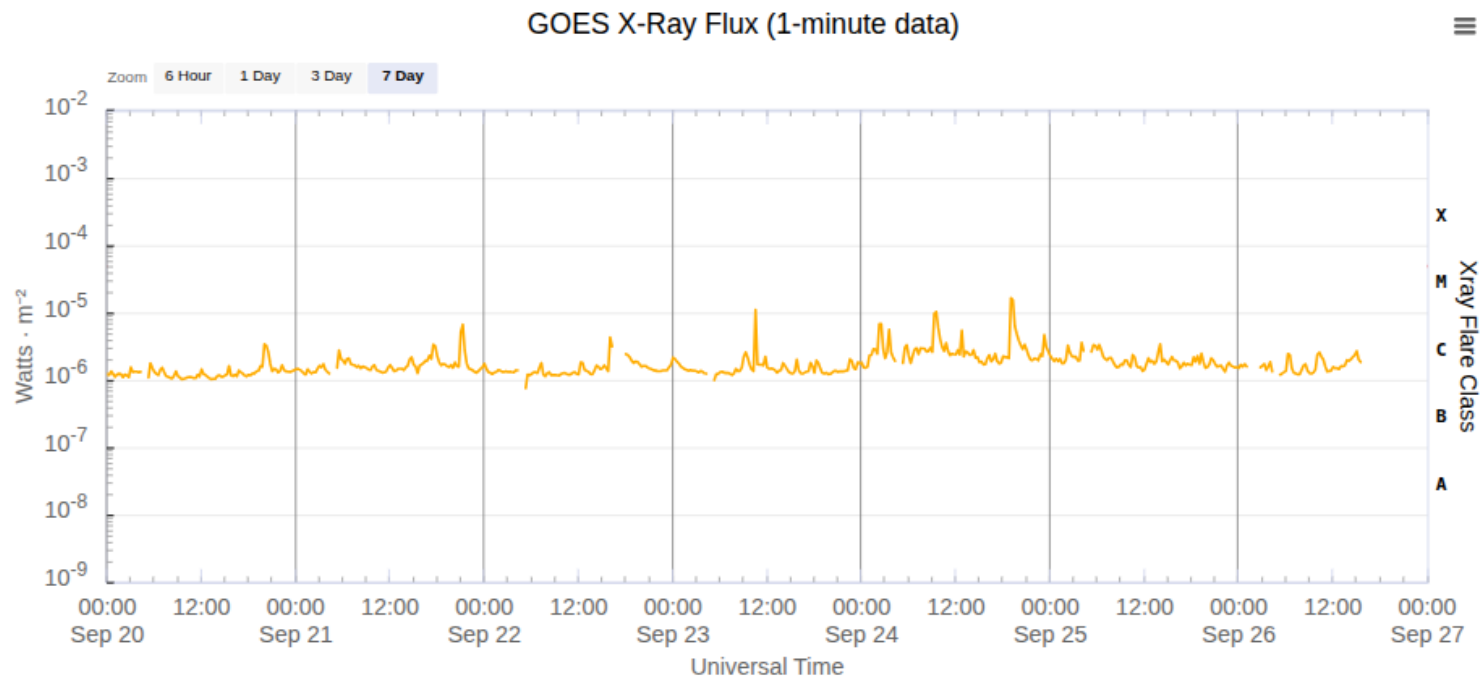
Imagen de la cromosfera solar en H-Alpha (6562.8 \AA) observada el día 22/09/2025, 17:04 hrs UTC.

La imagen muestra las regiones activas 4216, 4217, 4220, 4221, 4223, 4224, 4225, 4226, 4227 y 4228 observadas para esta fecha en el disco solar. Destacan también otras estructuras como filamentos en ambos hemisferios, así como protuberancias.

Actividad solar: Fulguraciones solares

Flujo de rayos X solares detectado por el satélite GOES 18 de la NOAA.

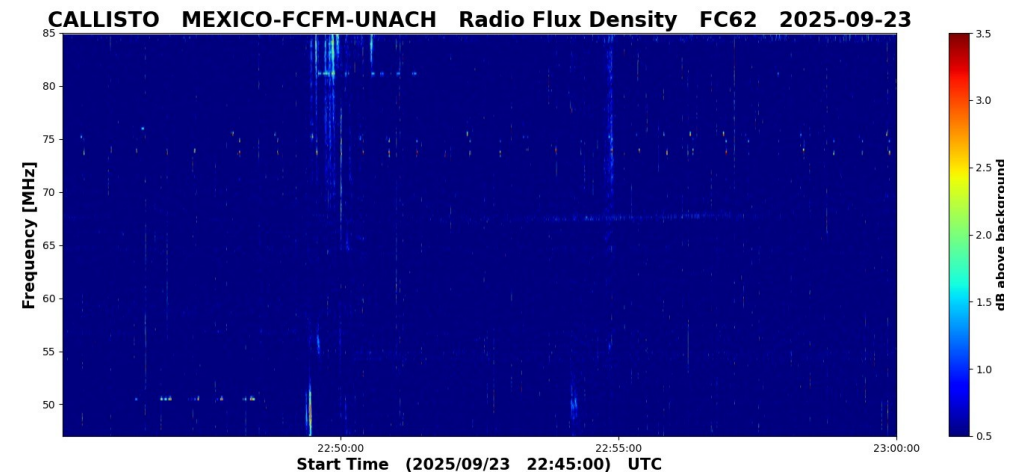
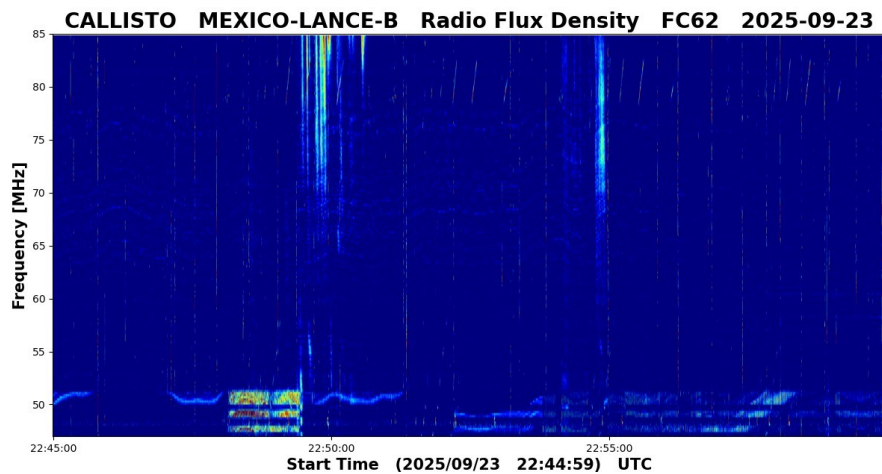
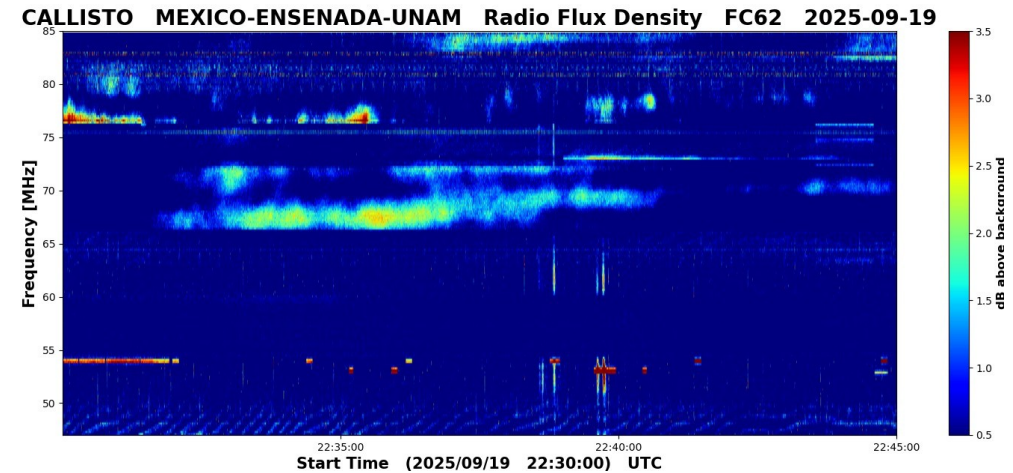
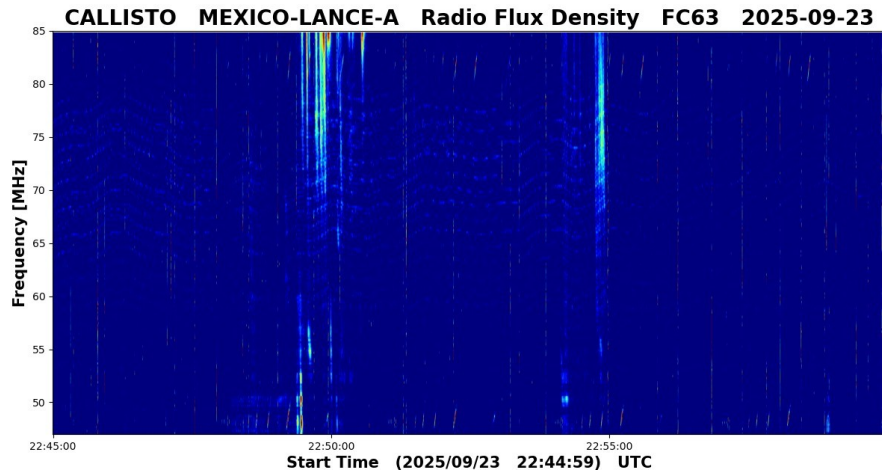
Durante la semana, se registró una fulguración clase 1.6M



<https://www.swpc.noaa.gov/products/goes-x-ray-flux>

Estallidos de radio solares: Observaciones de la REC-Mx

En esta semana la Red de Espectrómetros Callisto de México (REC-Mx) detectó 21 estallidos de radio Tipo III.



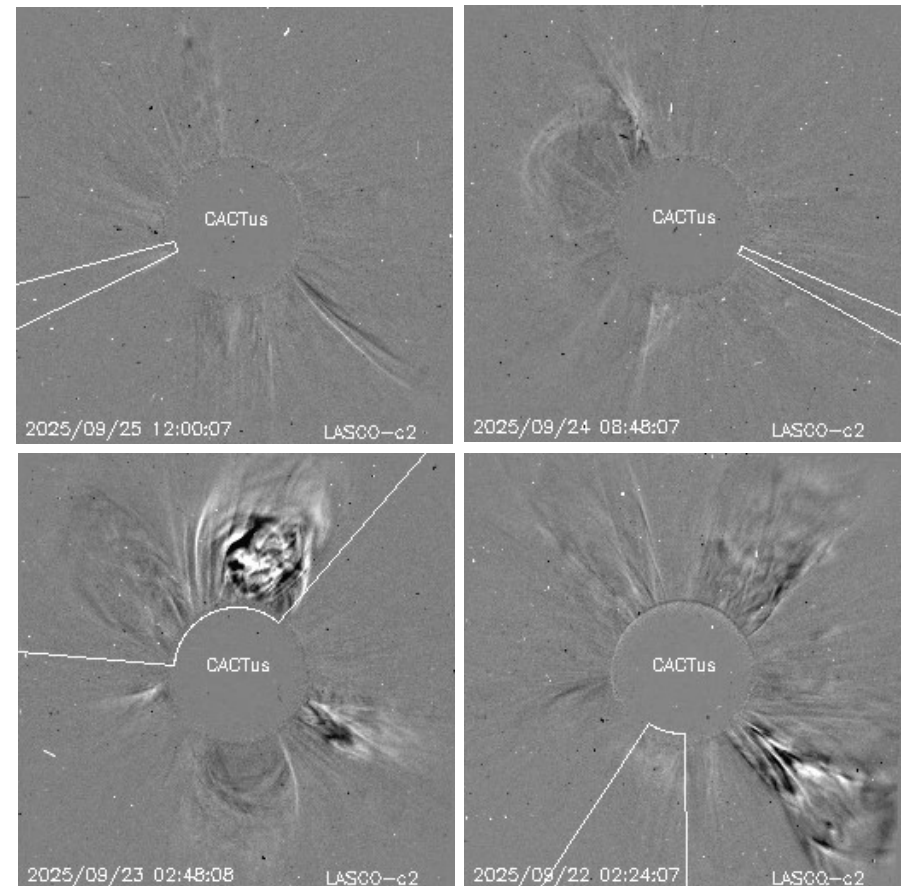
Actividad solar: Eyecciones de Masa Coronal

Se registraron 44 EMCs.
1 tipo halo (ancho > 90°)

Mediciones de salida de EMC de mayor
dimensión y velocidad de esta semana:

Fecha, tiempo inicial, velocidad promedio (km/s)

| | | |
|------------|-------|------|
| 2025/09/25 | 11:48 | 625 |
| 2025/09/24 | 09:00 | 1572 |
| 2025/09/22 | 21:36 | 207 |
| 2025/09/22 | 01:25 | 366 |



- Eyecciones observadas por SOHO/LASCO con cálculos
del sitio CACTUS.

Crédito, imágenes y valores estimados:
SOHO, the SOLAR & Heliospheric Observatory
<https://www.bis.sidc.be/cactus/>

Medio interplanetario

Centelleo interplanetario

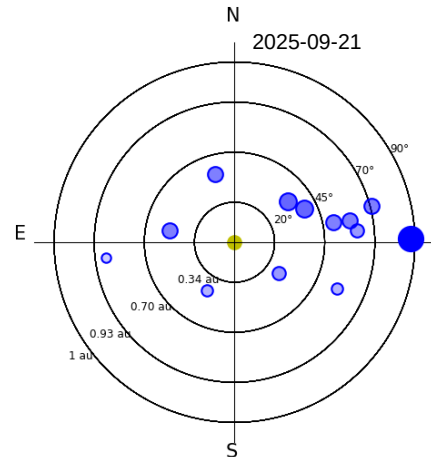
Magnitud de velocidades de viento solar registradas por MEXART.

Se muestra con círculos azules la posición aparente de fuentes de centelleo vistas desde la Tierra, su dimensión representa la rapidez del viento solar. Al centro el Sol (círculo amarillo). Los círculos concéntricos marcan la elongación o distancia heliocéntrica en grados o unidades astronómicas.

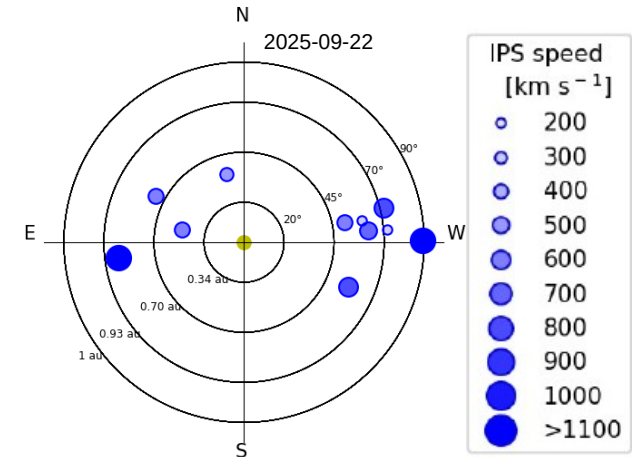
Mapas correspondientes a los últimos días en que se registraron observaciones. Velocidades en su mayoría van de 300 a 800 km/s.

Los velocidad calculada hasta ahora es experimental.

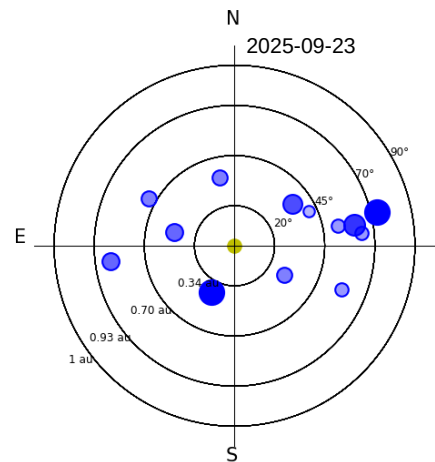
MEXART - Apparent position of Sources in th



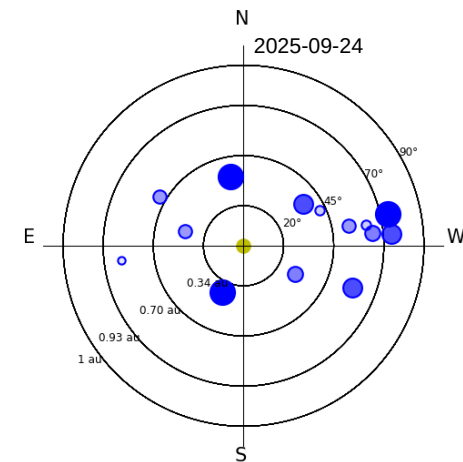
MEXART - Apparent position of Sources in the sky



MEXART - Apparent position of Sources in th



MEXART - Apparent position of Sources in the sky



Medio interplanetario: El viento solar cercano a la Tierra

Modelo numérico WSA-ENLIL.

Del 19 al 22 de septiembre de 2025, el modelo pronostica un viento solar entre 300 a 500 km/s. No se espera salida ni llegada de una EMC en ese periodo.

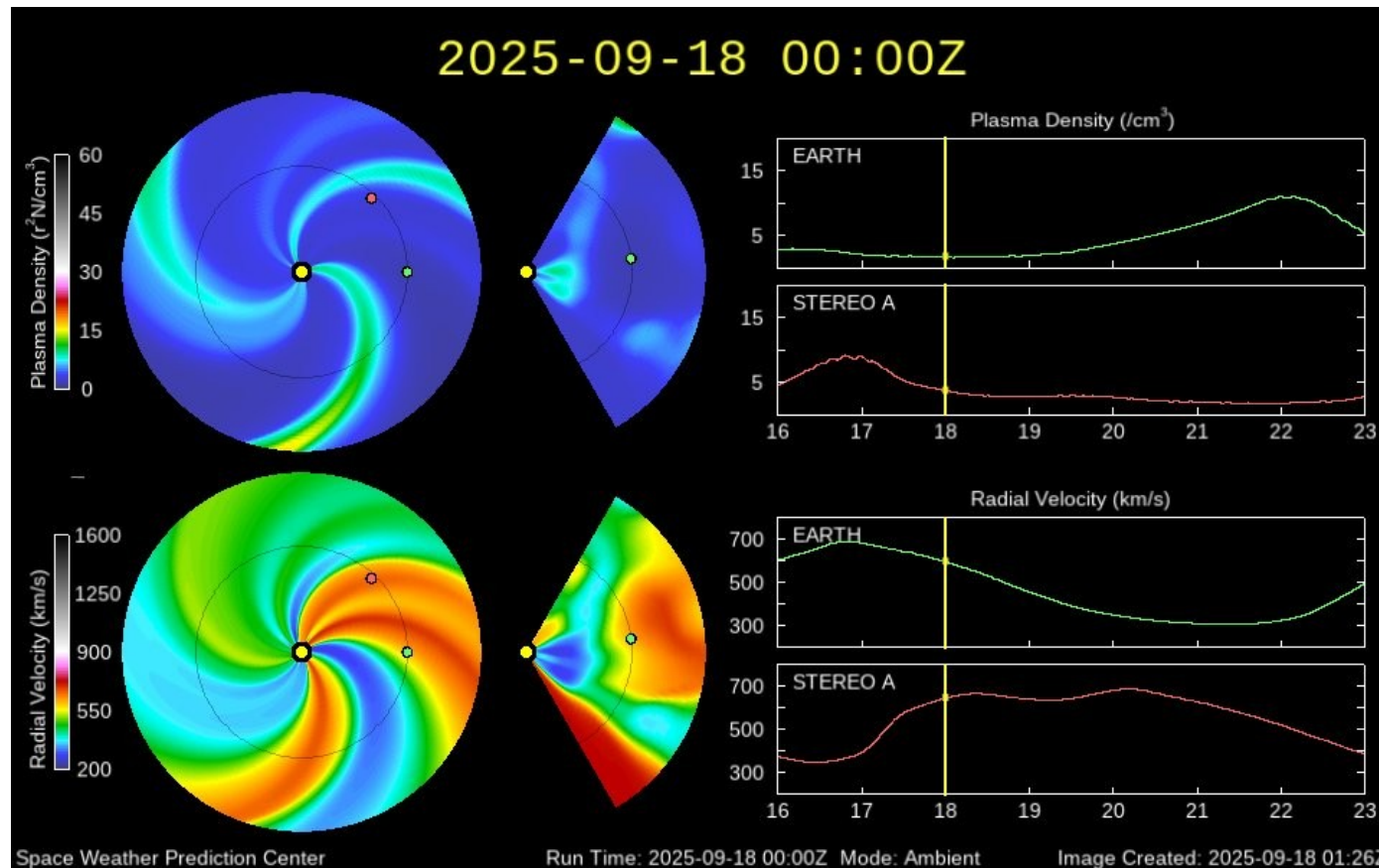


Imagen: <http://www.swpc.noaa.gov/products/wsa-enlil-solar-wind-prediction>

Medio interplanetario: Región de interacción de viento

Esta semana se registró una región de interacción (ver región sombreada en gris en imagen 2). El origen del viento rápido es un hoyo coronal ecuatorial que se extiende sobre latitud media-baja (ver CH1 en imagen 1). Dicha estructura no generó actividad geomagnética.

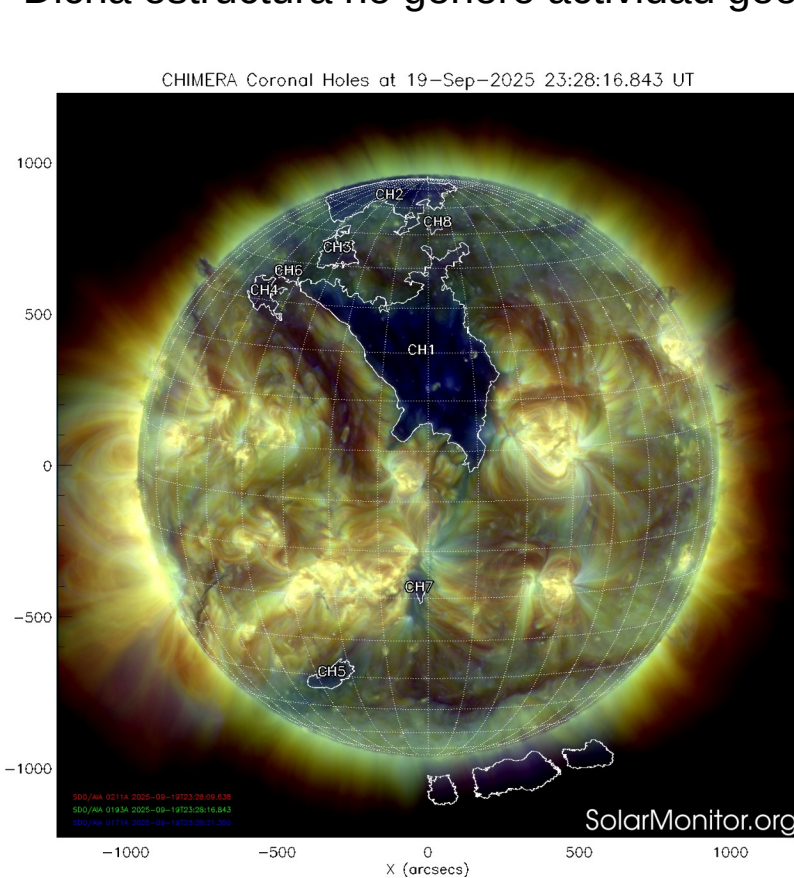


Imagen 1: <https://sdo.nasa.gov/>

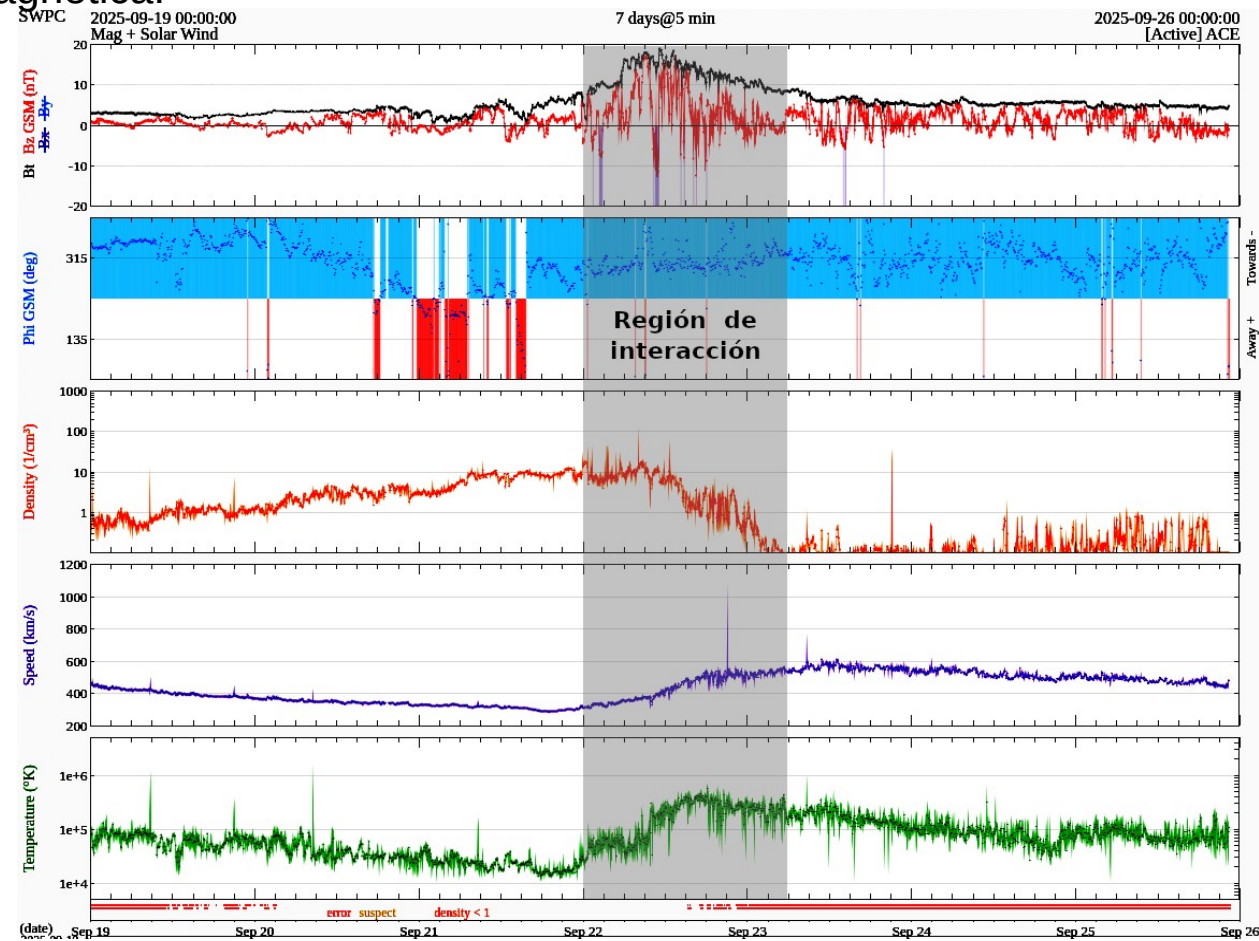


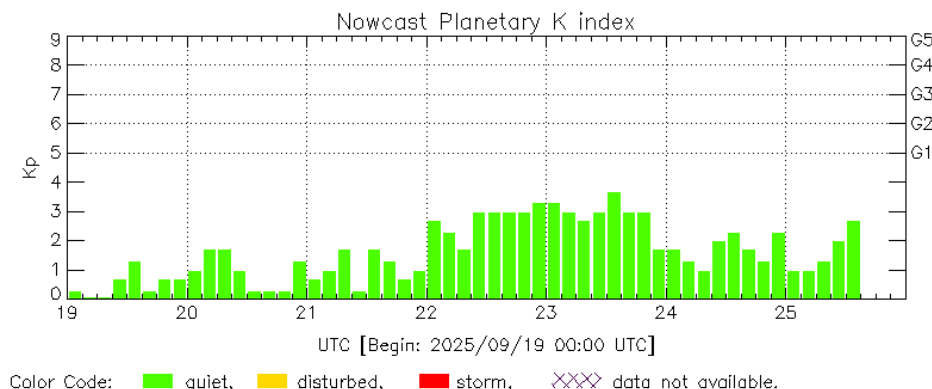
Imagen 2: <https://www.swpc.noaa.gov/products/real-time-solar-wind>

Actividad geomagnética regional y planetaria: índices Kmex y Kp

No se registró actividad geomagnética relevante en los índices Kp ni Kmex durante la semana que va del 19 al 25 de septiembre. Fue una semana geomagnéticamente quieta.

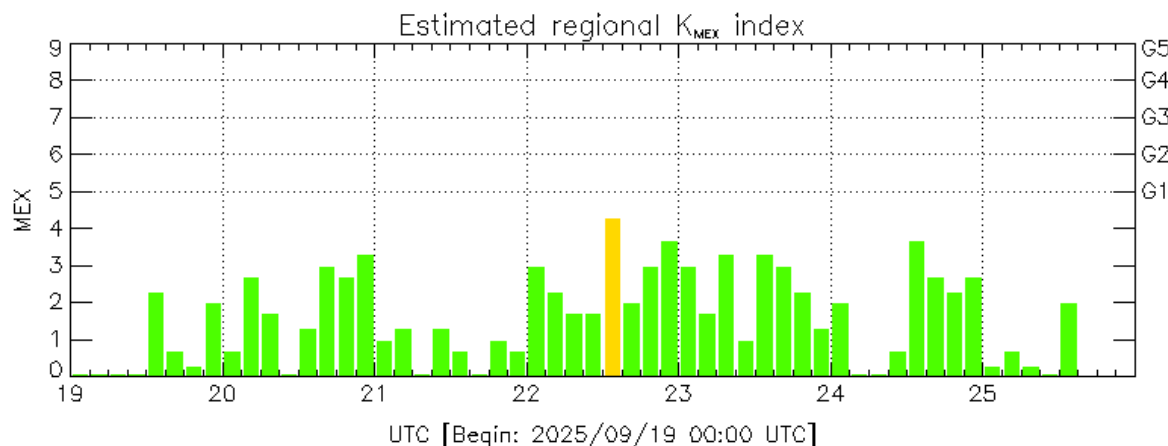
NOTA: El cálculo del índice Kmex se realizó usando datos de la estación magnética Coeneo, Mich y del observatorio magnético de Teoloyucan, Edomex. Los datos son experimentales y no se deben de tomar como definitivos.

Datos: www.gfz-potsdam.de/en/kp-index/



Kp: by GFZ German Research Center for Geosciences
<https://www.gfz-potsdam.de/en/kp-index/>

Updated: 2025/09/25-15:59 UTC



MEX: Regional early values of K index for Mexico by REGMEX/LANCE (<http://regmex.unam.mx>)

Updated: 2025/09/25-15:59 UTC

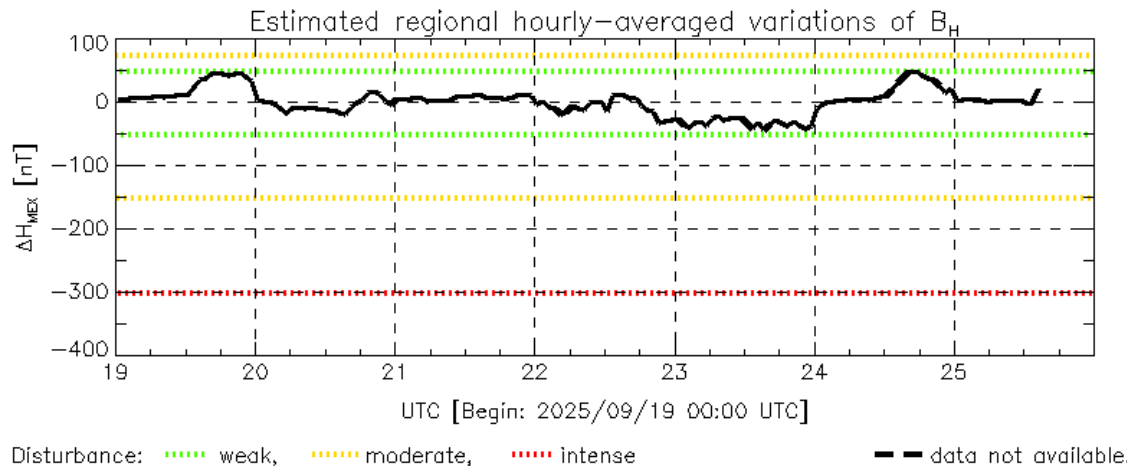
El índice K indica la intensidad de las variaciones del campo magnético terrestre en intervalos de 3 horas.

El índice Kp lo expresa a escala planetaria, mientras que el Kmex lo hace para el territorio mexicano.

Actividad geomagnética regional y planetaria: índices ΔH y Dst

No se registró actividad geomagnética relevante en los índices ΔH ni Dst en la semana que va del 19 al 25 de septiembre. Fue una semana geomagnéticamente quieta.

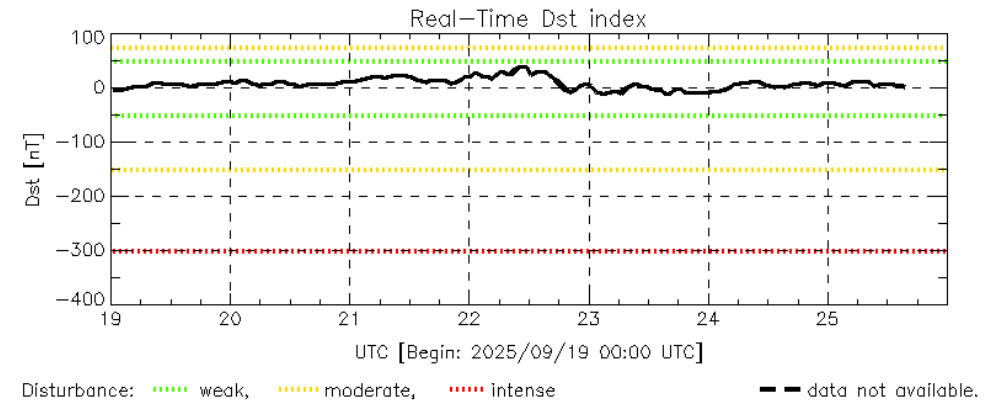
NOTA: El cálculo del índice ΔH se realizó usando datos de la estación magnética Coeneo, Mich y del observatorio magnético de Teoloyucan, Edomex. Los datos son experimentales y no se deben de tomar como definitivos.



MEX: Regional early values of ΔH index for Mexico by REGMEX/LANCE (<http://regmex.unam.mx>)

Updated: 2025/09/25-15:59 UTC

Datos: wdc.kugi.kyoto-u.ac.jp/dst_realtime/



Dst: by World Data Center for Geomagnetism, Kyoto
http://wdc.kugi.kyoto-u.ac.jp/dst_realtime/

Updated: 2025/09/25-15:59 UTC

Los índices Dst y ΔH miden las variaciones temporales de la componente horizontal del campo geomagnético, el primero a escala planetaria y el segundo para México.

Estas variaciones, en general, se deben al ingreso de partículas cargadas, provenientes del espacio exterior, al ambiente espacial terrestre.

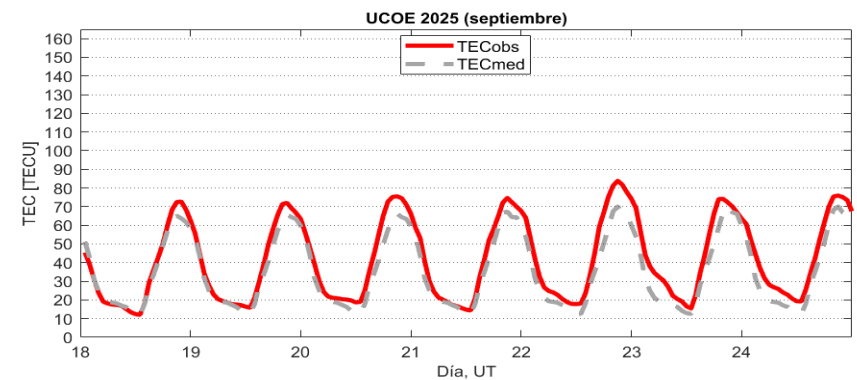
Ionósfera sobre México: TEC en el centro del país

El contenido total de electrones (TEC) es un parámetro que sirve para caracterizar el estado de la ionosfera de la Tierra.

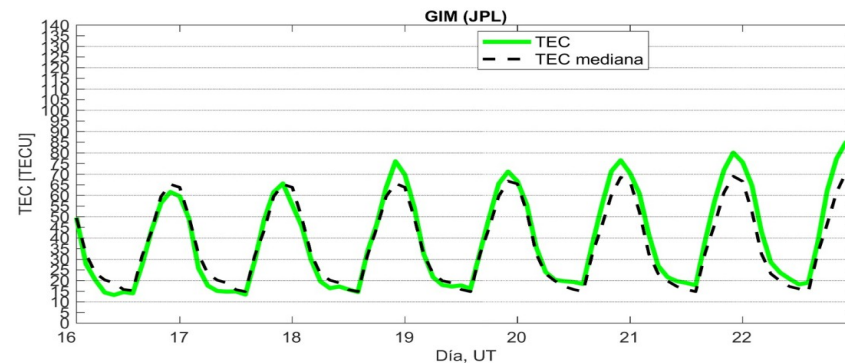
Series temporales de los valores de TEC (TECobs) con referencia a su valor mediano (TECmed) obtenidas de:

(1) Estación local UCOE, ubicada en la región centro del país.

El cálculo se realiza en base del software "TayAbsTEC" del Instituto de Física Solar-Terrestre, SB RAS. Referencia: Yasyukevich et al., 2015, doi: 10.1134/S001679321506016X.

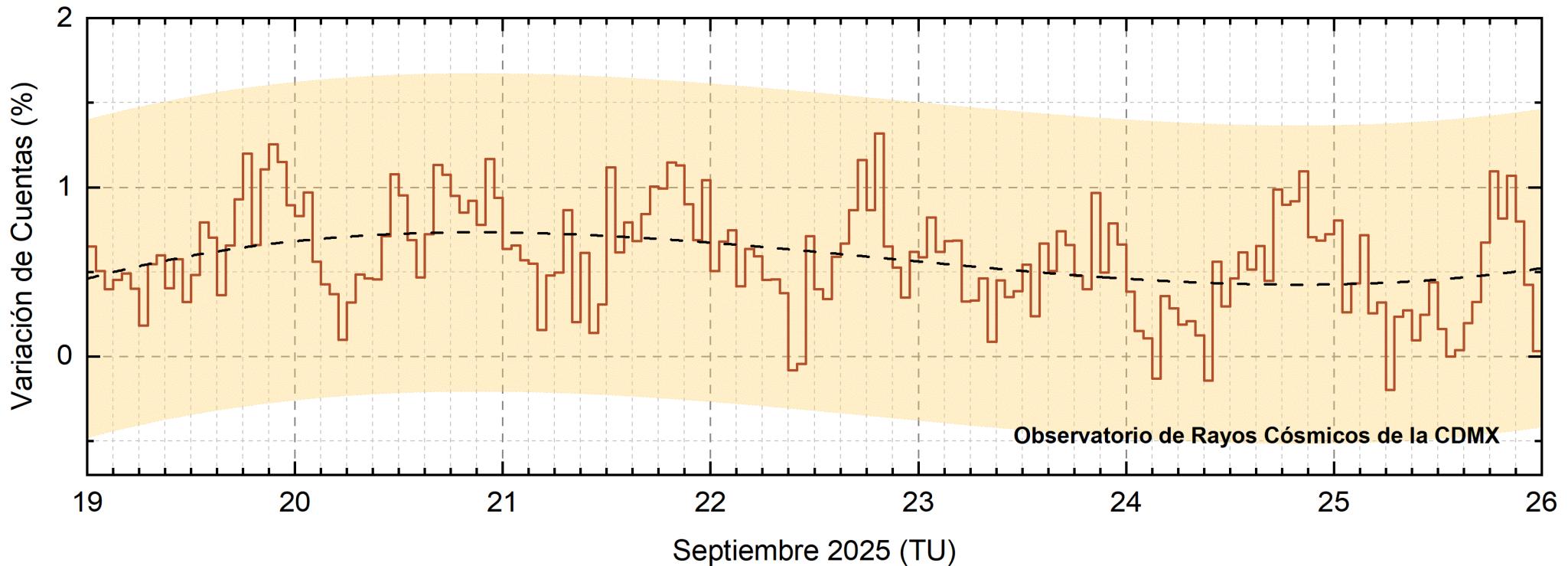


(2) Mapas ionosféricos globales (GIM JPL)



En esta semana no se observaron variaciones significativas de TEC.

Rayos Cósmicos:



<http://www.cosmicrays.unam.mx/>

Datos registrados por el Observatorio de Rayos Cósmicos de la Ciudad de México. La curva discontinua negra representa el promedio de los datos registrados, el área coloreada en amarillo representa la significancia de los datos ($\pm 3\sigma$). Cuando se registran variaciones que salen del área, es probable que éstas sean atribuidas a efectos de emisiones solares en el flujo de rayos cósmicos. Del 19 al 25 de septiembre de 2025, no se detectaron variaciones significativas ($>3\sigma$) en las cuentas de rayos cósmicos.

UNAM/LANCE/SCIESMEX

Dr. J. Américo González Esparza
Dr. Pedro Corona Romero
Dra. Maria Sergeeva
Dr. Julio C. Mejía Ambriz
Dr. Luis Xavier González Méndez
Ing. Ernesto Andrade Mascote
M.C. Pablo Villanueva Hernández
Dr. Víctor José Gatica Acevedo
Dra. Elsa Sánchez García
Dr. Carlos Arturo Pérez Alanís
Dr. Raúl Gutiérrez Zalapa
Dra. Verónica Ontiveros
Dra. Tania Oyuki Chang Martínez
Dr. Ernesto Aguilar Rodríguez

UAS/FCFM

Dra. Angela Melgarejo Morales

INAOE

M.C. Elvia Patricia Barrón Cano

UNAM ENES-Morelia

Dr. Mario Rodríguez Martínez
Dr. José Juan González Avilés
Mateo Peralta Mondragón
Jaquelin Mejía Orozco

UNAM/PCT

M.C. Isaac Castellanos Velasco
Lic. Isaac David Orrala Legorreta

UANL/LANCE

Dr. Eduardo Pérez Tijerina
Dra. Esmeralda Romero Hernández
Dr. José Enrique Pérez León
Ing. Iván Antonio Peralta Mendoza
Fís. Rogelio Aguirre Gutiérrez
M.C. Adolfo Garza Salazar

UNAM/IGF/RAYOS CÓSMICOS

Dr. Luis Xavier González Méndez
Dr. José Francisco Valdés Galicia
Dr. Oscar Gustavo Morales Olivares
Fis. Alejandro Hurtado Pizano

SERVICIO MAGNÉTICO

Dr. Esteban Hernández Quintero[†]
Dr. Gerardo Cifuentes Nava
Dra. Ana Caccavari Garza

Elaboración: M.C. Adolfo Garza Salazar

Agradecimientos

El Laboratorio Nacional de Clima Espacial (LANCE) es parcialmente financiado por: el programa Cátedras CONACYT Proyecto 1045 y el Fondo Sectorial AEM-CONACYT proyecto 2014-01-247722. Agradecemos al proyecto Conacyt – Repositorio Institucional de Clima Espacial 268273. Agradecemos a todos los responsables y colaboradores de instrumentos del LANCE y a las redes de estaciones GPS del Servicio Sismológico Nacional y TlalocNET por facilitar sus datos. Agradecemos a Gerardo Cifuentes, Esteban Hernández y Ana Caccavari por los datos del Observatorio Magnético de Teoloyucan. De igual forma, agradecemos los servicios de IGS (International GNSS Service) por permitirnos usar los datos IONEX disponibles en: <https://cd.dis.nasa.gov/archive/gnss/products/ionex>. Los valores de TEC fueron obtenidos a partir de observaciones de las redes GPS del Servicio Sismológico Nacional (SSN), SSN-TLALOCNet y TLALOCNet del Servicio de Geodesia Satelital (SGS). Agradecemos al personal del SSN y del SGS por el mantenimiento de estaciones, la adquisición de datos y el soporte de IT de estas redes. Las operaciones de la red TLALOCNet y SSN-TLALOCNet GPS han sido apoyadas por The National Science Foundation bajo el proyecto EAR-1338091 a UNAVCO Inc., los proyectos CONACyT 253760 y 256012 y los proyectos UNAM-PAPIIT IN109315-3 y IN104818-3 de E. Cabral-Cano y el proyecto UNAM-PAPIIT IN111509 de R. Pérez. De igual forma, agradecemos a los proyectos de infraestructura del CONACyT: 253691 y del PAPIIT-DGAPA: IA107116 para el fortalecimiento de equipos como la estación fija de GPS, que forman parte del LACIGE-UNAM, de la ENES unidad Morelia a cargo de M. Rodríguez-Martínez, El cálculo de TEC se realiza: 1) utilizando el software US-TEC que es un producto de operación del Space Weather Prediction Center (SWPC), desarrollado a través de una colaboración entre National Geodetic Survey, National Oceanic and Atmospheric Administration (NOAA) y el Cooperative Institute for Research in Environmental Sciences of the University of Boulder, Colorado, 2) con base en el software TayAbsTEC del Instituto de Física Solar-Terrestre, sección Siberiana de la Academia de Ciencias Rusa. Parte del procesamiento de datos se lleva a cabo dentro del centro de Supercómputo de Clima Espacial (CESCOM) del LANCE. Así mismo agradecemos al Space Weather Forecasting Center for Astrophysics & Space Research de la University of California in San Diego y al Korean Space Weather Center por los datos de pronóstico para los modelos WSA-ENLIL y los mapas tomográficos por IPS. Agradecemos a la red e-callisto por los datos proporcionados de espectros electromagnéticos dinámicos de la red internacional de registro de eventos de radio solares.

Datos

Imágenes de coronógrafo, flujo de rayos X y modelo WSA-ENLIL:

<http://www.swpc.noaa.gov/products>

<http://iswa.ccmc.gsfc.nasa.gov/IswaSystemWebApp/>

Imágenes de coronógrafo:

<http://sohowww.nascom.nasa.gov/data/>

Imágenes del disco solar y de la fulguración:

<http://www.solarmonitor.org/>

Detección y caracterización de EMCs:

<http://www.sidc.oma.be/cactus/out/latestCMEs.html>

<http://spaceweather.gmu.edu/seeds/>

ISES:

<http://www.spaceweather.org/>

International Network of Solar Radio Spectrometers (e-callisto):

<http://www.e-callisto.org/>

German Research Center For Geosciences Postdam:

<http://www.gfz-potsdam.de/en/sektion/erdmagnetfeld/daten-dienst/kp-index/>

Data Analysis Center for Geomagnetism and Space Magnetism, Kyoto University:

<http://wdc.kugi.kyoto-u.ac.jp/index.html>

UNAVCO:

<http://www.unavco.org>

SSN:

<http://www.sismologico.unam.mx/>

SOHO Spacecraft NASA:

<http://sohowww.nascom.nasa.gov/>

SDO Spacecraft NASA:

<http://sdo.gsfc.nasa.gov/>

Space Weather Prediction Center NOAA:

<http://www.swpc.noaa.gov>

GOES Spacecraft NOAA:

<http://www.ngdc.noaa.gov/stp/satellite/goes/index.html>

ACE Spacecraft NOAA

<http://www.srl.caltech.edu/ACE/ASC/index.html>